



بررسی شیمی کانی، دما- فشار و دگرگونی زمین ساختی گارنت آمفیبولیت های تخت سلیمان، شمال غرب تکاب

رباب حاجی علی اوغلی*

گروه علوم زمین، دانشکده علوم طبیعی، دانشگاه تبریز

(دریافت مقاله: ۹۵/۸/۱۶، نسخه نهایی: ۹۵/۱۲/۲۵)

چکیده: مجموعه دگرگونی تخت سلیمان با طیف سنگ شناسی گسترده شامل انواع سنگ های دگرگونی رسی، بازیک و مرمر بوده که در شرایط رخساره شیست سبز تا آمفیبولیت و گرانولیت دگرگون شده اند. سنگ های آمفیبولیت در درجه دگرگونی های بالا ذوب شده و میگماتیت های مافیک در این ارتباط تشکیل شده اند. کانی های دگرگونی اوج در گارنت آمفیبولیت های فشار بالا به طور کامل توسط سیمپلکتیت دما فشار متوسط پلازیوکلاز-هورنبلند جایگزین شده است. شرایط P-T دگرگونی اوج (M_1) سنگ های گارنت آمفیبولیت به دلیل نبود کانی های دگرگونی اوج و ترکیب شیمی مناسب مشخص نیست. شرایط دما و فشار دگرگونی پسروند (M₂) در گارنت-آمفیبولیت بر اساس شواهد بافتی، کانی شناسی و ترکیب شیمی کانی های در حال تعادل در دو مرحله تعیین شد: (۱) دگرگونی پسروند در شرایط کاهش فشار M_{2-a} و (۲) مرحله سردشدن در طی بالا آمدگی و فرسایش سنگ ها M_{2-b}. شرایط دما و فشار تبلور در مرحله (M_{2-a}) حدود ۷۰۰°C و در مرحله (M_{2-b}) حدود ۵۷۰°C و ۵۰-۵۱ kbar به دست آمد. بر اساس شواهد بافتی، کانی شناسی، محاسبات دما و فشار و مسیر ساعتگرد تغییرات P-T پسروند در گارنت آمفیبولیت ها نتیجه می شود نخستین قسمت مسیر P-T با شب تند dP/dT کاهش شدید فشار را نشان می دهد که احتمالاً بتوان آن را در رابطه با عملکرد گسل-های تراستی در طی ضخیم شدن گی پوسته ای و برخورد قاره ای در نظر گرفت. در صورتی که قسمت دوم مسیر P-T دگرگونی پسروند در طی سردشدن و بالا آمدگی سنگ ها به علت نازک شدن گی و فرسایش پوسته ای ثبت شده است. بر این اساس رخداد دگرگونی پسروند و بالا آمدگی گارنت آمفیبولیت ها در مجموعه دگرگونی تخت سلیمان با مدل ضخیم شدن گی پوسته ای و نازک شدن گی بعدی آن طی فازهای کشش بعد از فشارش مرتبط با فاز لارامید طی بسته شدن نئوتیس همخوانی دارد.

واژه های کلیدی: گارنت آمفیبولیت؛ شیمی کانی؛ دما- فشار سنجی؛ دگرگونی زمین ساختی؛ تخت سلیمان؛ NW/ ایران.

میکاشیست، گنیس، مرمر با قطعه هایی از سنگ های دگرگونی فوق بازیک تشکیل شده است. سن مجموعه دگرگونی تخت سلیمان در نقشه زمین شناسی ۱/۲۵۰۰۰۰ تکاب [۴] و ۱/۱۰۰۰۰۰ تخت سلیمان [۵] به پر کامبرین نسبت داده شده است. این سنگ ها به شدت چین خورده هستند. رخداد دگر شکل های شدید در مجموعه دگرگونی تخت سلیمان به عملکرد فازهای زمین ساختی متعدد طی دوره پر کامبرین تا

مقدمه منطقه تخت سلیمان در شمال شرق تکاب در استان آذربایجان غربی واقع شده است. این منطقه در تقسیم بندی های ساختاری ایران در منطقه ایران مرکزی [۱] و منطقه سندنج- سیرجان [۲] در نظر گرفته شده است. مجموعه دگرگونی تخت سلیمان به طور اصلی از سنگ های دگرگونی درجه متوسط تا درجه بالا شامل شیست سبز، آمفیبولیت، گرانولیت،

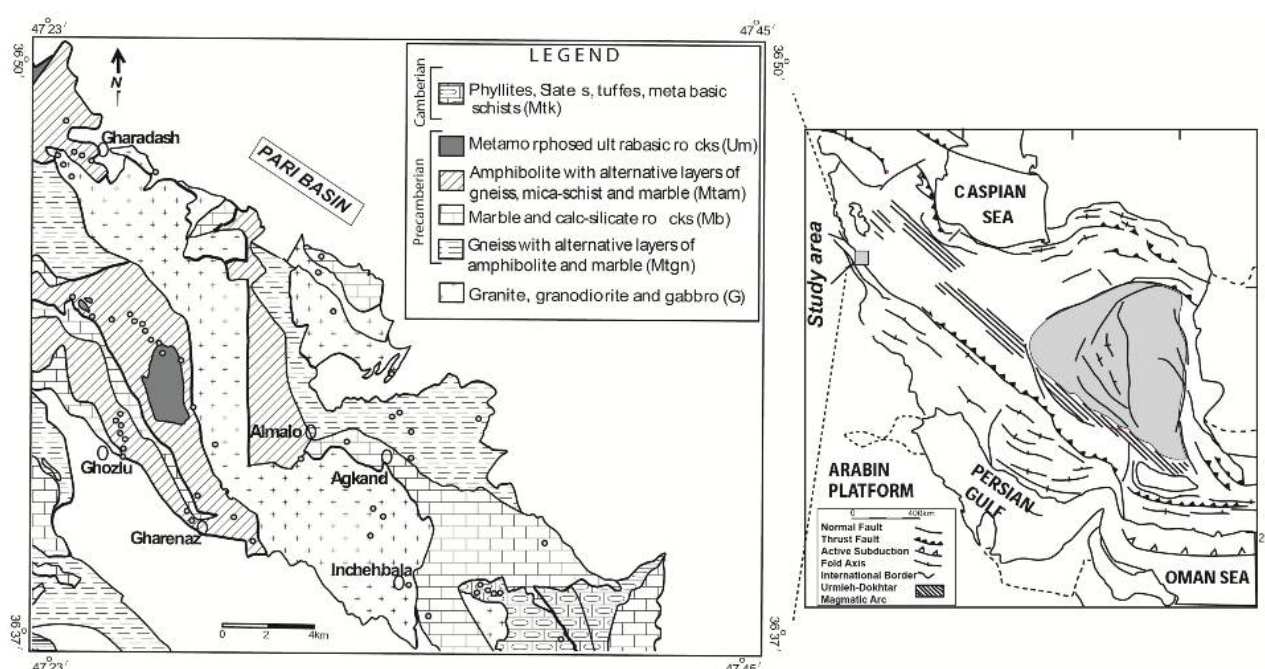
*نویسنده مسئول، تلفن: ۰۴۱-۳۳۳۹۲۷۰۳، نامبر: ۰۴۱-۳۳۳۵۶۰۲۹، پست الکترونیکی: hajialioghli@tabrizu.ac.ir

آمفیبولیت‌ها هستند. در برخی نمونه‌ها گارنت دانه درشت در مقادیر بسیار فراوان با چشم غیر مسلح مشاهده می‌شود. سنگ‌های آمفیبولیت در درجه دگرگونی‌های بالا ذوب شده و میگماتیت‌های مافیک تشکیل شده‌اند. رخمنون سنگ‌های دگرگونی منسوب به کامبرین [۵] در جنوب منطقه دیده می‌شود. این سنگ‌ها شامل اسلیت، فیلیت به رنگ سبز متمایل به خاکستری با میان لایه‌های توف، متاندزیت و لایه‌های نازک دولومیت است. توده‌های آذرین با ترکیب گرانیتoid و دیوریت به داخل مجموعه سنگ‌های دگرگونی قدیمی نفوذ کرده‌اند. زمان جایگیری این توده‌ها در داخل سنگ‌های دگرگونی در بررسی‌های پیشین به پرکامبرین (معادل با گرانیت دوران [۴]) و مژوزوئیک [۵] نسبت داده شده است اما سن ایزوتوپی تشکیل این سنگ‌ها تا به حال به طور دقیق مشخص نشده است. به نظر می‌رسد که بخشی از این سنگ‌ها احتمالاً در ارتباط با ذوب‌بخشی آمفیبولیت‌ها و میگماتیت‌های مافیک تشکیل شده باشد. سن‌سننجی U-Pb زیرکن در لوکوسوم، سن میگماتیت‌های مافیک حاصل از ذوب‌بخشی آمفیبولیت‌ها را الیگومن-میوسن مشخص کرده است [۶].

سنوزوئیک نسبت داده می‌شود. در این پژوهش کانی‌شناسی، روابط بافتی و شیمی کانی‌ها در سنگ‌های آمفیبولیتی مجموعه دگرگونی تخت سلیمان مورد بررسی قرار گرفته و تغییرات دما و فشار دگرگونی سنگ‌ها تعیین شده است. نتایج به دست آمده در تفسیر دگرگونی زمین‌ساختی پوسته قاره‌ای منطقه، مورد استفاده قرار گرفته است.

زمین‌شناسی صحرایی

برونزد اصلی سنگ‌ها در منطقه شامل مجموعه دگرگونی‌های پرکامبرین با ترکیب شیست سبز، آمفیبولیت، گنیس، مرمر و گرانولیت است (شکل ۱). همچنین برونزد سنگ‌های فوق‌بازیک سرپانتینی شده به صورت توده‌های کوچک داخل خاکستری دیده می‌شود. سنگ‌های مرمر به شدت بازبلور یافته‌اند و بقایای فسیلی در آنها مشاهده نمی‌شود. ساختار آمفیبولیت‌ها متنوع بوده و شامل انواع همگن، برگوارگی و چین خورده است. طول موج چین در آمفیبولیت‌ها از میلیمتر تا چند متر متغیر است. رنگ آمفیبولیت‌ها در نمونه‌های دستی از خاکستری و سبز روشن تا رنگ کاملاً تیره متفاوت است. اندازه کانی‌ها در آمفیبولیت‌ها از اندازه بسیار دانه‌های میلی‌متر متغیر است. هورنبلند و پلازیوکلاز کانی‌های اصلی تشکیل‌دهنده



شکل ۱ نقشه زمین‌شناسی منطقه برگرفته از مرجع [۵].

و کانی‌های تیره به رنگ قهوه‌ای بوده که متفاوت از رنگ نسبتاً روشن گارنت با ادخال‌های دانه‌درشت کوارتز و پلازیوکلاز در بخش بیرونی آن است (شکل ۲ ت). تفاوت در نوع کانی‌های ادخال و نیز اندازه آنها در بخش هسته (core) و بخش درونی (inner) پورفیروبلاست گارنت را احتمالاً می‌توان در ارتباط با مراحل متفاوت رشد پورفیروبلاست در نظر گرفت.

ب- گارنت آمفیبولیت غنی از کوارتز؛ این سنگ‌ها در اصل از کانی‌های هورنبلند (٪۳۰-٪۲۵)، گارنت (٪۲۵)، کوارتز (٪۲۰-٪۳۰) و پلازیوکلاز (٪۱۵-٪۵) تشکیل شده‌اند. کانی‌های کوارتز باز متبلور یافته به صورت هاله روشن در اطراف پورفیروبلاست گارنت احتمالاً نتیجه واکنش‌های شکست آمفیبول \pm پلازیوکلاز هستند. گارنت در اندازه ۵ میلی متر دارای بافت غربالی با ادخال‌های فراوان از کوارتز است (شکل ۲ ث). ممکن است طی رشد گارنت، کانی‌های کوارتز در حاشیه پورفیروبلاست گارنت به صورت ادخال احاطه شده باشند. ادخال آمفیبول داخل کوارتز که خود به صورت ادخال درون گارنت است تشکیل گارنت از شکست آمفیبول و پلازیوکلاز را تایید می‌کند (واکنش $\text{Pl} + \text{Amp} = \text{Grt} + \text{Qtz} + \text{H}_2\text{O}$).

ج- گارنت-آمفیبولیت غنی از هورنبلند: درصد مودال کانی‌های هورنبلند و گارنت بیش از ٪۸۵ حجمی این سنگ‌ها را تشکیل می‌دهد. پورفیروبلاست‌های آمفیبول و گارنت دارای ادخال‌هایی از کانی‌های پلازیوکلاز و اپیدوت هستند. کوارتز در مجموعه کانی‌های این سنگ‌ها حضور ندارد و یا در مقادیر فرعی است. سیمپلکتیت هورنبلند-پلازیوکلاز در اطراف پورفیروبلاست گارنت در این سنگ‌ها معمول است (شکل ۲ ج). سیمپلکتیت هورنبلند-پلازیوکلاز از بافت‌های شاخص دگرگونی پسروندۀ در شرایط کاهش فشار است که در طی آن در آمفیبولیت‌های فشار بالا مجموعه کانی‌های هورنبلند و پلازیوکلاز جانشین کانی فرومیزین پیشین (احتمالاً کلینوپیروکسن) شده است. کلینوپیروکسن در سنگ‌های متابازیک در دماهای بیش از ٪۷۰۰ و فشار حدود ٪۷-٪۸ کیلوبار در رخساره آمفیبولیت فوقانی ظاهر می‌شود [۹]. کانی‌های کلینوپیروکسن در آمفیبولیت‌های تحت سلیمان طی فرایندهای دگرگونی پسروندۀ به طور کامل توسط کانی‌های هورنبلند و پلازیوکلاز جانشین شده‌اند. از دیگر شواهد دال بر رخداد دگرگونی پسروندۀ در شرایط کاهش فشار در سنگ‌های مودال برسی می‌توان به تشکیل تیتانیت ثانویه در اطراف ایلمنیت و ادخال روتیل در داخل پورفیروبلاست گارنت اشاره کرد.

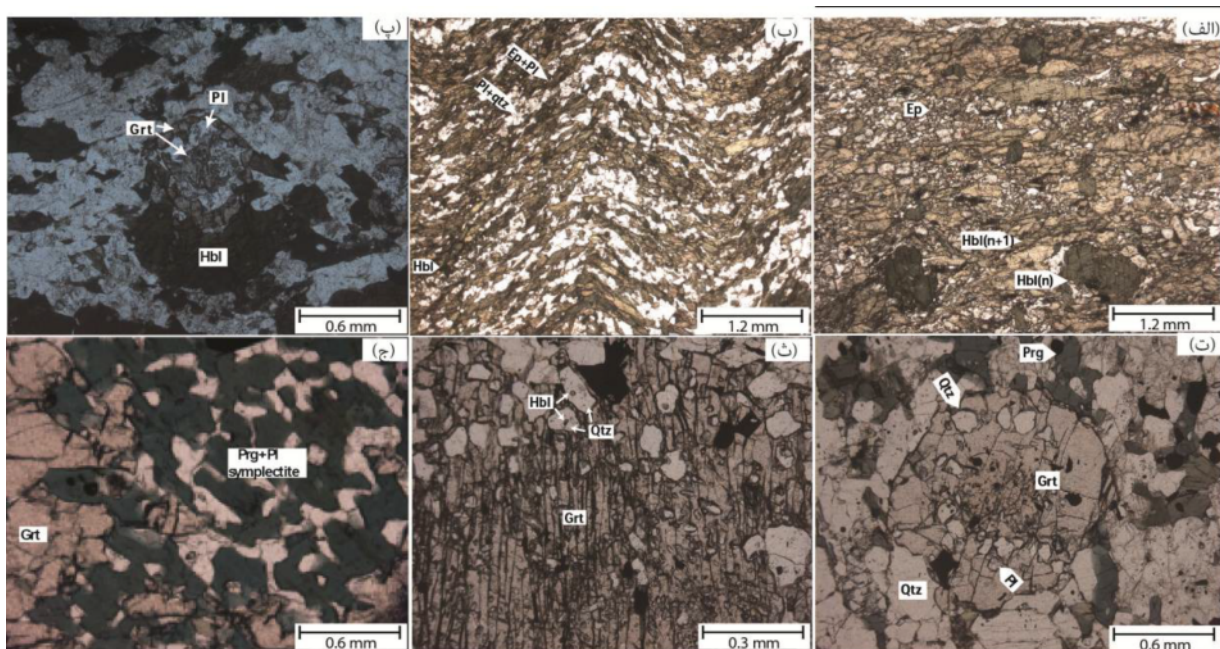
روش پژوهش

سنگ‌های گارنت آمفیبولیت با استفاده از دستگاه ریزپردازشگر الکترونی SX100 در مرکز مطالعات زمین‌شناسی پتسدام آلمان (GFZ) با ولتاژ ۱۵ kV و شدت جریان A-۲۰ nA ۱۰ تجزیه شد. زمان تجزیه هر نقطه ۴۰ ثانیه انتخاب شده بود. داده‌های معرف تجزیه ریزپردازش کانی‌ها در جدول ۱ آورده شده است. علایم اختصاری به کار رفته برای اسمی کانی‌ها برگرفته شده از مرجع [۷] است. نسبت $\text{Fe}^{2+}/\text{Fe}^{3+}$ در آمفیبول و گارنت با استفاده از موازنۀ کاتیون‌ها در ساختار کانی‌ها [۸] محاسبه شده است.

سنگ‌نگاری گارنت آمفیبولیت‌ها

هورنبلند، پلازیوکلاز و گارنت کانی‌های اصلی تشکیل دهنده سنگ‌های مورد بررسی هستند. اپیدوت و تیتانیت در مقادیر کم در بعضی از نمونه‌ها حضور دارند. گارنت در اندازه نسبتاً کوچکتر (Grt_{n+1}) به صورت همزیست با پلازیوکلاز در زمینه ریزدانه‌ای موزائیکی (equigranoblastic) تشکیل شده است. در برخی نمونه‌ها برگوارگی ساده در آمفیبولیت‌ها با جهت‌یابی موازی کانی‌های هورنبلند و لایه‌های غنی از فلذسپات به صورت تناوبی از لایه‌های تیره و روشن مشخص می‌شود (شکل ۲ الف). برگوارگی با دو فاز دگرشکلی در برخی از آمفیبولیت‌ها دیده می‌شود (شکل ۲ ب) که در آن کانی‌های هورنبلند (Hbl_{n+1}) با جهت‌یابی موازی و در اندازه نسبتاً دانه‌ریز در اطراف پورفیروبلاست‌های آمفیبول و گارنت (Hbl_n, \pm Grt_n) تشکیل شده است. برگوارگی چین خورده در آمفیبولیت‌ها را می‌توان از شواهد دال بر رخداد فرایندهای دگرشکلی متعدد (حدائق دو فاز دگرشکلی) در پوسته قاره‌ای منطقه در نظر گرفت. سنگ‌های گارنت-آمفیبولیت در منطقه مورد بررسی از لاحظ بافتی و نسبت‌های متفاوت مقادیر مودال کانی‌های آمفیبول، پلازیوکلاز و کوارتز در انواع گارنت-آمفیبولیت (عادی)، گارنت آمفیبولیت غنی از هورنبلند و گارنت آمفیبولیت غنی از کوارتز رده‌بندی شده‌اند، که در ادامه توضیح داده می‌شوند:

الف- گارنت-آمفیبولیت (عادی): مجموعه کانی‌ها در سنگ‌های گارنت آمفیبولیت عبارتند از هورنبلند (٪۳۰-٪۲۵)، پلازیوکلاز (٪۲۰-٪۲۵)، گارنت (٪۲۰-٪۲۵)، کوارتز (٪۱۰-٪۳۰). اپیدوت در مقدار کم در برخی از نمونه‌ها حضور دارد. گارنت با بافت اسکلتی در قسمت داخلی به مجموعه کانی‌های پلازیوکلاز و زوئیزیت تجزیه شده است (شکل ۲ پ). پورفیروبلاست گارنت در اندازه ۱/۴ میلی‌متر دارای رنگ متفاوت در هسته و بخش درونی آن است. هسته گارنت دارای ادخال‌های فراوان و دانه‌ریز از اپیدوت



شکل ۲ (الف) برگوارگی با پورفیروبلاست‌های آمفیبول. پورفیروبلاست‌های آمفیبول در تصویر رنگ متفاوت از آمفیبول‌های دانه‌ریز کشیده در برگوارگی را نشان می‌دهند، (ب) برگوارگی چین خورد، (پ) آтол حلقوی گارنت. گارنت در بخش میانی به کانی‌های پلاژیوکلاز و زوئیزیت تجزیه شده است، (ت) پورفیروبلاست گارنت با رنگ نوری متفاوت در هسته و حاشیه. گارنت در هسته دارای ادخال‌های بسیار ریز و فراوان اپیدوت است در صورتیکه بخش حاشیه دارای ادخال‌های کوارتز در اندازه‌های نسبتاً درشت است، (ث) ادخال هورنبلندر درون ادخال کوارتز در پورفیروبلاست گارنت، (ج) سیمپلکتیت دمای پایین هورنبلندر و پلاژیوکلاز در اطراف پورفیروبلاست گارنت. همه تصاویر در حالت PPL تهیه شده‌اند.

افزایش یافته است. مقادیر Ca و Ti در ترکیب آمفیبول در سنگ‌های متابازیک نسبت به دما و تغییرات شرایط دگرگونی حساس بوده و عموماً مقادیر بالای این عناصر، شرایط دگرگونی در دماهای بالاتر را نشان می‌دهد [۱۱]. مقادیر Na و Al^{VI} در ترکیب هسته به مقدار جزئی بیشتر از ترکیب منطقه میانی و حاشیه کانی‌های آمفیبول تجزیه شده است. در نمودار تغییرات Si-Ti و Al-Ti [۱۲]، ترکیب کانی‌های آمفیبول تجزیه شده در انواع سنگ‌های آمفیبولیت منطقه مورد بررسی منطبق با ویژگی‌های فشار متوسط و دمای بالاست (شکل‌های ۳ پ و ت).

فلدسبار: فرمول فلدسبار بر اساس ۵ کاتیون و ۸ اکسیژن محاسبه شده است. ترکیب کانی‌های پلاژیوکلاز تجزیه شده در اصل غنی از تشکیل دهنده آنورتیت با مقادیر فرعی آلبیت است (شکل ۴ الف). عضو نهایی فلدسبار پتاسیم در مقادیر بسیار جزئی (تا ۱۳٪-۰٪) است. عضو نهایی آنورتیت در پلاژیوکلاز در سنگ‌های گارنت آمفیبولیت و کلینوپیروکسن-گارنت

کانی شیمی کانی‌های دگرگونی شامل گارنت، آمفیبول، پلاژیوکلاز و اپیدوت در نمونه معرف از سنگ‌های گارنت آمفیبولیت با استفاده از ریزپردازشگر تجزیه شد. داده‌های تجزیه ریزپردازشگر کانی‌های معرف در جدول ۱ ارائه شده است.

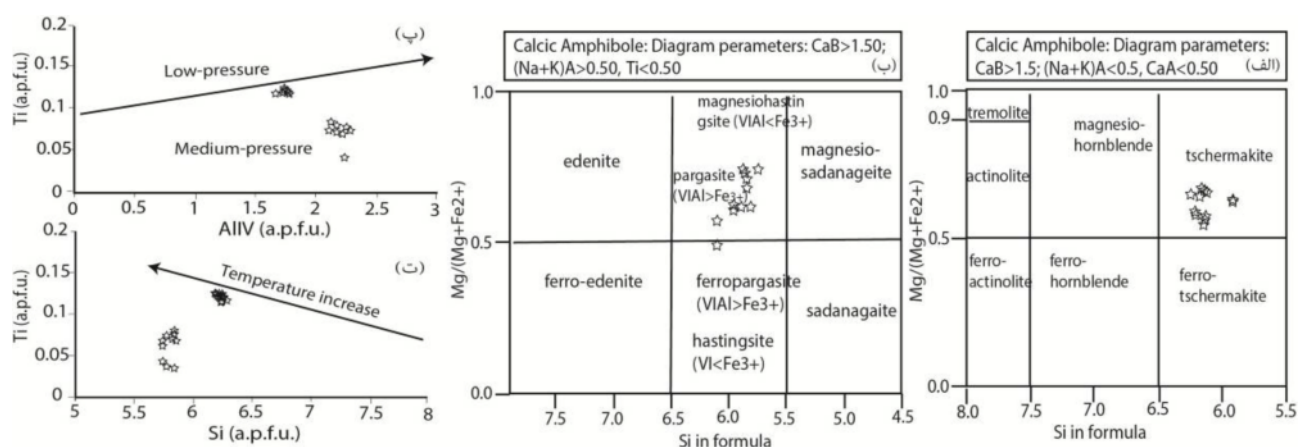
آمفیبول: فرمول آمفیبول بر اساس ۲۳ اکسیژن و ۱۳ کاتیون محاسبه شده است. کانی‌های آمفیبول تجزیه شده در انواع سنگ‌های آمفیبولیت از نوع سدیمی-کلسیمی می‌باشد که در آنها Ca (۰.۱۴-۰.۲۱ a.p.f.u.) Na (۱.۷۶-۱.۸۳ a.p.f.u.) و (M⁴) تشکیل دهنده‌های اصلی جایگاه هشت‌وجهی (atoms per formula unit) یا a.p.f.u. در نمودار Si (a.p.f.u.) نسبت به Mg/Mg+Fe²⁺ (a.p.f.u.) ترکیب کانی‌های آمفیبول تجزیه شده در محدوده چرم‌اکیت و پارگاسیت واقع می‌شوند (شکل‌های ۳ الف-ب) [۱۰]. مقادیر Ca و Ti در ترکیب بخش داخلی برخی از پورفیروبلاست‌های آمفیبول تجزیه شده نسبت به ترکیب هسته و حاشیه آن به مقدار جزئی

پلازیوکلار احتمالاً نتیجه واکنش‌های شکست هورنبلند و تشکیل گارنت و کلینوپیروکسن است.

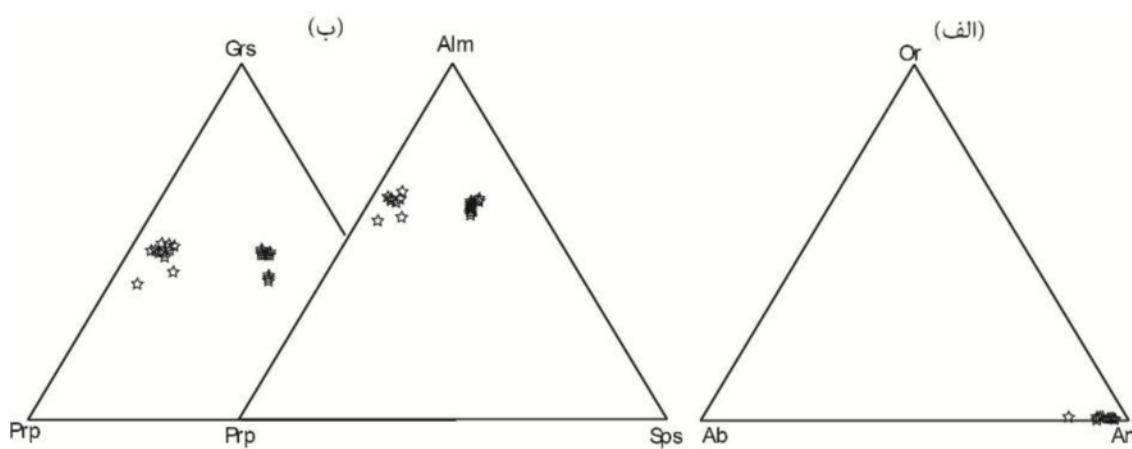
آمفیبولیت به طور متوسط در حدود ۷۵-۹۵ % است. مقادیر بالای تشکیل دهنده An در کانی‌های پلازیوکلار سنگ‌های فربازی وابسته به دگرگونی اوج است. مقادیر بالای Ca در

جدول ۱ داده‌های معرف از تجزیه ریزپردازشگر کانی‌های دگرگونی در گارنت آمفیبولیت‌های تخت سلیمان.

Mineral (wt%)	Amp M ₂	Amp M ₁	Amp M _{2-b}	Amp M _{2-a}	Amp M _{2-b}	Amp M _{2-a}	PI M ₁	PI M ₂	PI M _{2-b}	PI M _{2-a}	PI M _{2-b}	PI M _{2-a}	Ep	Ep	Grt M ₂	Grt M ₁	Grt M _{2-b}	Grt M _{2-a}	Grt M _{2-b}			
SiO ₂	۴۱,۳۲	۴۱,۳۸	۴۱,۶۸	۴۱,۸۰	۴۱,۶۰	۴۰,۰۳	۴۵,۱۳	۴۷,۳۳	۴۴,۰۱	۴۳,۸۶	۴۳,۹۳	۴۳,۷۸	۳۷,۶۴	۳۶,۲۰	۲۸,۶۵	۳۷,۹۲	۳۸,۰۵	۳۷,۶۹	۳۸,۱۹	۳۸,۲۵	۳۸,۷۱	
TiO ₂	۱,۰۸	۰,۹۱	۰,۵۳	۰,۴۸	۰,۴۰	۰,۷۹	۰,۰۰	۰,۰۰	۰,۰۰	۰,۰۱	۰,۰۲	۰,۱۲	۱,۱۳	۰,۰۵	۰,۰۶	۰,۰۱	۰,۱۳	۰,۰۳	۰,۰۴	۰,۰۵		
Al ₂ O ₃	۱۳,۲۸	۱۳,۳۶	۱۴,۶۳	۱۴,۵۳	۲۵,۱۱	۱۶,۴۴	۲۴,۸۸	۲۳,۳۲	۲۵,۴۵	۳۵,۵۶	۳۵,۶۹	۳۵,۸۹	۲۴,۹۸	۲۰,۱۰	۲۰,۹۴	۲۰,۸۴	۲۰,۸۴	۲۱,۱۸	۲۰,۵۱	۲۱,۱۰	۲۰,۷۹	۲۱,۱
FeO	۱۸,۶۳	۱۸,۸۸	۱۶,۷۴	۱۶,۴۳	۱۰,۱۱	۱۶,۴۷	۰,۱۳	۰,۱۳	۰,۱۰	۰,۲۳	۰,۱۰	۰,۰۸	۹,۶۲	۲۰,۹۴	۲۳,۰۷	۲۲,۰۴	۲۲,۱۶	۲۶,۷۷	۲۱,۲۸	۲۴,۴۴	۲۴,۲	۲۲,۹۴
MnO	۰,۵۴	۰,۵۸	۰,۴۸	۰,۴۰	۰,۲۳	۰,۳۳	۰,۰۰	۰,۰۵	۰,۰۴	۰,۰۳	۰,۰۰	۰,۰۰	۰,۰۷	۱,۱۰	۱,۳۵	۸,۲۸	۷,۶۴	۶,۴۱	۱۱,۲۵	۱,۷۳	۲,۱۹	۱,۱۵
MgO	۸,۹۹	۹,۷۲	۹,۷۰	۹,۹۰	۵,۱۳	۹,۱۶	۰,۰۰	۰,۰۰	۰,۰۰	۰,۰۰	۰,۰۰	۰,۰۵	۶,۸۶	۶,۵۳	۳,۲۰	۲,۹۶	۴,۰۱	۱,۵۶	۵,۶۵	۵,۱۶	۶,۸۹	
CaO	۱۱,۶۳	۱۱,۴۵	۱۱,۴۳	۱۱,۵۱	۱۳,۲۲	۱۱,۲۵	۱۸,۵۳	۱۵,۷۵	۱۹,۲۵	۱۹,۴۹	۱۹,۳۰	۱۹,۳۴	۲۲,۱۱	۸,۷۷	۸,۹۵	۸,۷۵	۹,۰۳	۴,۵۲	۸,۲۶	۸,۲۵	۸,۵۳	۹,۱۴
Na ₂ O	۱,۵۸	۱,۵۲	۱,۲۶	۱,۲۰	۲,۲۸	۲,۳۵	۱,۲۹	۳,۰۴	۰,۷۷	۰,۵۹	۰,۵۸	۰,۵۰	۰,۰۱	۱,۹۶	۰,۰۱	۰,۰۲	۰,۰۴	۰,۰۲	۰,۰۲	۰,۰۲	۰,۰۱	
K ₂ O	۱,۱۱	۱,۱۸	۰,۵۹	۰,۵۵	۰,۲۶	۰,۲۶	۰,۰۲	۰,۱۲	۰,۰۲	۰,۰۱	۰,۰۲	۰,۰۰	۰,۴۵	۰,۰۰	۰,۰۲	۰,۰۰	۰,۰۰	۰,۰۱	۰,۰۰	۰,۰۰	۰,۰۰	
Sum	۹۸,۱۵	۹۸,۱۶	۹۷,۰۸	۹۶,۹۳	۹۷,۰۷	۹۷,۷۹	۹۹,۹۹	۹۹,۷۶	۱۰,۱۵	۹۹,۷۷	۹۹,۶۲	۹۹,۶۴	۹۵,۸۱	۹۵,۶۲	۹۹,۵۷	۱۰,۱۱	۱۰,۰۸	۱۰,۰۶	۱۰,۰۴	۹۹,۵۰	۹۹,۸۵	۱۰,۰۰
F	-۰,۴۲	-۰,۹	-۰,۳۷	-۰,۲۰	-۰,۰۲	-۰,۰۳	-۰,۲۲	-۰,۰۷	-۰,۲۰	-۰,۰۳	-۰,۱۴	-۰,۱۹	-۰,۱۰	-۰,۰۰	-۰,۳۸	-۰,۱۲	-۰,۲۳	-۰,۱۳	-۰,۳۲	-۰,۲۰	-۰,۰۰	
Cl	-۰,۰۲	-۰,۰۰	-۰,۰۱	-۰,۰۲	-۰,۰۵	-۰,۰۵	-۰,۰۰	-۰,۰۰	-۰,۰۰	-۰,۰۰	-۰,۰۰	-۰,۰۰	-۰,۰۰	-۰,۰۰	-۰,۰۰	-۰,۰۰	-۰,۰۰	-۰,۰۱	-۰,۰۰	-۰,۰۰		
(O)	۲۳	۲۳	۲۳	۲۳	۲۳	۲۳	۸	۸	۸	۸	۸	۸	۱۲,۵	۱۲,۵	۲۴	۲۴	۲۴	۲۴	۲۴	۲۴	۲۴	
a.p.f.u																						
Si	۶,۱۶	۶,۱۷	۶,۱۴	۶,۱۶	۵,۹۳	۵,۹۲	۲,۰۸	۲,۱۶	۲,۰۰	۲,۰۰	۲,۰۰	۲,۰۰	۲,۰۳	۳,۰۳	۲,۷۶	۶,۰۱	۵,۹۷	۶,۰۰	۵,۹۷	۶,۰۰	۵,۹۹	۶,۰۰
Al	۲,۳۳	۲,۳۴	۲,۰۴	۲,۵۳	۲,۸۷	۲,۹۹	۱,۸۹	۱,۷۹	۱,۹۰	۱,۹۴	۱,۹۵	۱,۹۶	۲,۳۷	۱,۹۰	۳,۸۴	۳,۸۷	۳,۸۸	۳,۹۵	۳,۸۷	۳,۸۵	۳,۸۵	
Fe ³⁺	-۰,۷۳	-۰,۸۲	-۰,۹۷	-۰,۹۲	-۰,۷۹	-۰,۷۴	-۰,۰۰	-۰,۰۰	-۰,۰۰	-۰,۰۰	-۰,۰۰	-۰,۰۰	-۰,۵۸	۱,۲۷	-۰,۱۹	-۰,۲۴	-۰,۱۶	-۰,۱۲	-۰,۱۴	-۰,۱۹	-۰,۲۳	
Fe ²⁺	۱,۵۹	۱,۵۲	۱,۰۹	۱,۱۰	۱,۲۵	۰,۸۹	-۰,۰۰	-۰,۰۰	-۰,۰۰	-۰,۰۰	-۰,۰۰	-۰,۰۰	-۰,۰۰	-۰,۰۰	-۰,۰۰	-۰,۰۰	-۰,۰۰	-۰,۰۰	-۰,۰۰	-۰,۰۰	-۰,۰۰	
Ti	-۰,۱۲	-۰,۱۰	-۰,۰۶	-۰,۰۵	-۰,۰۹	-۰,۰۶	-۰,۰۰	-۰,۰۰	-۰,۰۰	-۰,۰۰	-۰,۰۰	-۰,۰۰	-۰,۰۱	-۰,۰۷	-۰,۰۱	-۰,۰۱	-۰,۰۰	-۰,۰۰	-۰,۰۰	-۰,۰۰		
Mn	-۰,۰۷	-۰,۰۷	-۰,۰۶	-۰,۰۵	-۰,۰۴	-۰,۰۲	-۰,۰۰	-۰,۰۰	-۰,۰۰	-۰,۰۰	-۰,۰۰	-۰,۰۰	-۰,۰۲	-۰,۰۸	-۰,۱۸	-۰,۱۰	-۰,۰۲	-۰,۰۲	-۰,۰۲	-۰,۰۰		
Mg	۲,۰۰	۱,۹۸	۲,۱۳	۲,۱۸	۲,۰۲	۲,۳۸	-۰,۰۰	-۰,۰۰	-۰,۰۰	-۰,۰۰	-۰,۰۰	-۰,۰۰	-۰,۰۱	-۰,۸۲	۱,۵۱	-۰,۷۵	-۰,۷۰	-۰,۷۲	۱,۳۲	۱,۲۱	۱,۵۹	
Ca	۱,۸۶	۱,۸۲	۱,۸۰	۱,۸۲	۱,۷۹	۱,۷۹	-۰,۹۰	-۰,۷۷	-۰,۹۴	-۰,۹۷	-۰,۹۵	-۰,۹۶	۱,۹۹	-۰,۷۶	۱,۴۹	۱,۴۸	۱,۵۳	-۰,۷۷	۱,۴۲	۱,۳۹	۱,۴۴	۱,۵۲
Na	-۰,۴۶	-۰,۴۴	-۰,۳۶	-۰,۳۷	-۰,۶۸	-۰,۷۰	-۰,۱۱	-۰,۲۷	-۰,۱۵	-۰,۰۵	-۰,۰۴	-۰,۰۰	-۰,۳۱	-۰,۰۱	-۰,۰۱	-۰,۰۰	-۰,۰۰	-۰,۰۰	-۰,۰۰	-۰,۰۰	-۰,۰۰	
K	-۰,۲۱	-۰,۲۲	-۰,۱۱	-۰,۱۰	-۰,۰۵	-۰,۰۴	-۰,۰۰	-۰,۰۰	-۰,۰۰	-۰,۰۰	-۰,۰۰	-۰,۰۰	-۰,۰۰	-۰,۰۴	-۰,۰۰	-۰,۰۰	-۰,۰۰	-۰,۰۰	-۰,۰۰	-۰,۰۰	-۰,۰۰	
Sum	۱۵,۵۲	۱۵,۴۹	۱۵,۲۷	۱۵,۳۰	۱۵,۵۱	۱۵,۰۳	۰,۰۰	۰,۰۰	۰,۰۰	۰,۰۰	۰,۰۰	۰,۰۰	۰,۰۰	۰,۰۰	۱۶,۰۵	۱۶,۰	۱۶,۰	۱۶,۰	۱۶,۰	۱۶,۰	۱۶,۰	
Al ^[IV]	۱,۸۴	۱,۸۴	۱,۸۶	۱,۸۴	۲,۰۷	۲,۰۸																
Al ^[VII]	-۰,۴۹	-۰,۵۰	-۰,۶۸	-۰,۶۹	-۰,۸۱	-۰,۹۰																
Mg/Mg+Fe	-۰,۵۶	-۰,۵۶	-۰,۶۶	-۰,۶۶	-۰,۶۲	-۰,۷۳									-۰,۳۵	-۰,۲۰	-۰,۲۰	-۰,۲۲	-۰,۳۱	-۰,۳۰	-۰,۲۸	-۰,۳۶
Al/Al+Fe ³⁺ +Cr ³⁺	-۰,۷۶	-۰,۷۷	-۰,۷۲	-۰,۷۳	-۰,۷۸	-۰,۸۰									-۰,۹۵	-۰,۹۰	۱,۰۰	-۰,۹۷	-۰,۹۶	-۰,۹۶	-۰,۹۵	-۰,۹۴
(K+Na) _A	-۰,۵۲	-۰,۴۹	-۰,۲۷	-۰,۲۰	-۰,۰۱	-۰,۰۰																
Na ₂ Na+K+Ca	-۰,۱۸	-۰,۱۸	-۰,۱۸	-۰,۱۶	-۰,۲۷	-۰,۱۱	-۰,۲۶	-۰,۱۲	-۰,۰۵	-۰,۰۵	-۰,۰۴				-۰,۰۰	-۰,۰۰	-۰,۰۰	-۰,۰۰	-۰,۰۰	-۰,۰۰	-۰,۰۰	
K,Ca+K+Na	-۰,۰۸	-۰,۰۹	-۰,۰۵	-۰,۰۲	-۰,۰۲	-۰,۰۰	-۰,۰۰	-۰,۰۰	-۰,۰۰	-۰,۰۰	-۰,۰۰				-۰,۰۰	-۰,۰۰	-۰,۰۰	-۰,۰۰	-۰,۰۰	-۰,۰۰	-۰,۰۰	
Ca,K+Na+Ca	-۰,۷۴	-۰,۷۲	-۰,۷۹	-۰,۷۱	-۰,۷۱	-۰,۰۰	-۰,۸۹	-۰,۷۴	-۰,۸۷	-۰,۹۵	-۰,۹۵	-۰,۹۶			-۰,۰۰	-۰,۰۰	-۰,۰۰	-۰,۰۰	-۰,۰۰	-۰,۰۰	-۰,۰۰	
Alm (%)															۴۶,۹	۴۴,۵	۴۶,۰	۵۷,۱	۴۴,۸	۵۱,۰	۵۱,۱	۴۵,۷
Prp (%)															۲۵,۳	۱۲,۵	۱۱,۶	۱۵,۸	۶,۲	۲۲,۰	۲۰,۱	۲۶,۵
Sps (%)															۳,۰۰	۱۸,۴	۱۷,۰	۱۴,۳	۲۵,۴	۳,۸	۴,۹	۲,۵
Grs (%)															۲۶,۹	۲۶,۶	۲۵,۴	۱۲,۸	۲۳,۶	۲۳,۱	۲۲,۹	۲۵,۳



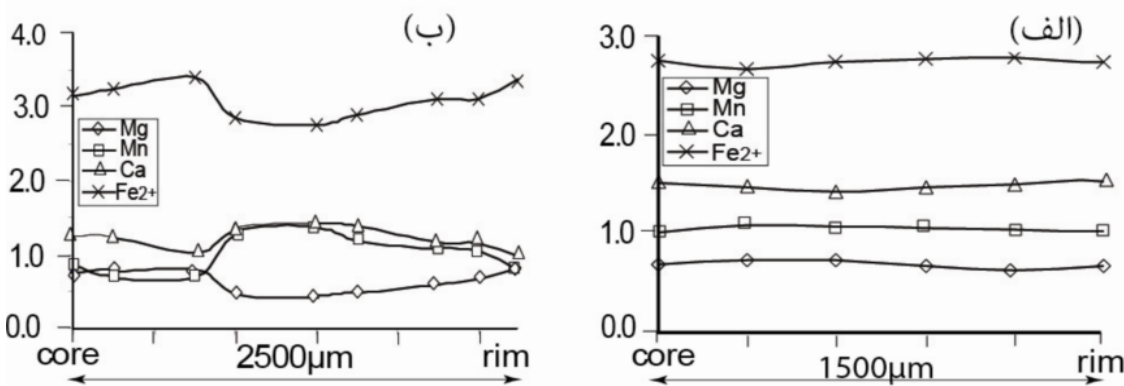
شکل ۳ (الف و ب) ترکیب آمفیبول در نمودار رده بندی [۱۰]، (پ و ت) ترکیب آمفیبول در نمودارهای $Ti-Al^{IV}$ و $Ti-Si$ [۱۲]



شکل ۴ (الف) ترکیب پلازیوکلاز در نمودار $Or-Ab-An$. (ب) ترکیب گارنت در نمودارهای $Prp-Alm-Sps$ و $Prp-Grs-Sps$.

تقریباً یکنواخت و نبود منطقه‌بندی شیمیایی پیشرونده در کانی‌های گارنت تجزیه شده احتمالاً به دلیل فرایندهای همگن‌شدگی (homogenization) در اثر انتشار حجمی در دماهای بیش از $600^{\circ}C$ [۱۳] بوده است. به نظر می‌رسد که تغییرات ترکیبی تدریجی یا عدم تغییرات ناگهانی در مرز ترکیب هسته، منطقه میانی و حاشیه کانی‌های گارنت تجزیه شده، رشد گارنت طی رخدادهای دگرگونی متعدد (polymetamorphism) را نشان می‌دهد. در بیشتر نمونه‌های تجزیه شده تغییرات ترکیب شیمیایی X_{Mg} از هسته به سمت منطقه میانی دارای روند افزایش بسیار جزئی تا تقریباً بدون تغییر است (شکل ۵ الف). تغییرات X_{Ca} و X_{Mn} از هسته به سمت منطقه داخلی روند تقریباً نزولی تا یکنواخت را نشان می‌دهد. کاهش قابل ملاحظه مقادیر X_{Mg} در ترکیب حاشیه بیشتر کانی‌های گارنت تجزیه شده را می‌توان به بازموازنی در شرایط زیر خط انجماد نسبت داد.

گارنت: فرمول گارنت بر اساس ۸ کاتیون و ۱۲ اکسیژن محاسبه شده است. باوجود اینکه ترکیب گارنت در سنگ‌های متایازیک به صورت $(Fe^{2+}, Mg, Ca, Mn)_3Al_2Si_3O_{12}$ نشان داده می‌شود اما در گارنت‌های مورد بررسی، Fe^{3+} در مقادیر کم به صورت جانشینی با Al در ترکیب گارنت حضور دارد. مقدار Fe^{3+} در گارنت کم و در حدود ۰-۳٪ (a.p.f.u.) است. حضور گارنت به صورت همزیست با کانی‌های دارای Fe^{3+} مانند زوئیزیت، آمفیبول، جانشینی $Al-Fe^{3+}$ در سنگ‌های مورد بررسی را تایید می‌کند. ترکیب متوسط گارنت در آمفیبولیت- Alm (45-59٪)، Prp (6-16٪)، Grs (45-59٪)، Sps (11-25٪) است. ترکیب گارنت‌های تجزیه شده در سنگ‌های مورد بررسی به طور خلاصه در نمودار مثلثی شکل ۴ ب نشان داده شده است. نیمرخ ترکیبی در طول پورفیروبلاست‌های گارنت در سنگ‌های گارنت آمفیبولیت منطقه مورد بررسی در شکل ۵ نشان داده شده است. ترکیب



شکل ۵ نیمرخ های ترکیبی از کانی های گارنت تجزیه شده. (الف) ترکیب گارنت دارای تغییرات تدریجی و پیوسته است. (ب) تغییرات ترکیبی ناگهانی و ناپیوسته در نیمرخ گارنت که احتمالاً در ارتباط با جوش خودگی (annealing) کانی های گارنت کوچک برای تشکیل پورفیروبلاست درشت بلور گارنت بوده است.

تجزیه شده غنی از Fe بوده و جانشینی $\text{Al}^{\text{VI}}\text{-Fe}^{3+}$ به مقدار جزئی بوده است. مقدار Ca در حدود ۳۸-۴ a.p.f.u. است. تمرکز اعضای نهایی در اپیدوت به صورت $\text{Ep}_{(0.6)}\text{Zo}_{(0.35)}$ است. ترکیب پیستاسیت در اپیدوت $[\text{XFe}^{3+}\text{-Fe}^{3+}/(\text{Fe}^{3+}\text{+Al})]$ در حدود ۰.۱۹-۰.۲۱ است.

دمافشارسنگی گارنت آمفیبولیت‌ها

دما و فشار تشکیل سنگ‌های گارنت آمفیبولیت با استفاده از روش‌های دمافشارسنگی متداول و محاسبات ترمودینامیکی براساس منحنی‌های تعادل فازی توسط برنامه ترموکالک محاسبه شد. سنگ‌های گارنت-آمفیبولیت در منطقه مورد بررسی در اثر فرایندهای دگرگونی پسروندۀ در شرایط کاهش فشار و سرد شدگی به شدت دگرسان شده‌اند. تعیین تحولات دما و فشار دگرگونی سنگ‌های مورد بررسی بر اساس شواهد بافتی، کانی‌شناسی و ترکیب شیمی کانی‌های پورفیروبلاست در دو مرحله بررسی شد: (M₁) مرحله اوج دگرگونی (peak metamorphism) در رخساره آمفیبولیت، (M₂) مرحله دگرگونی طی دگرگونی پسروندۀ در شرایط کاهش فشار. در سنگ‌های مورد بررسی طی دگرگونی پسروندۀ اگرگات‌های دانه‌ریز پلازیوکلاز-هورنبلند جانشین پورفیروبلاست‌های فرومیزین پیشین، احتمالاً کلینوبیروکسن، شده است. هم‌شدنی پلازیوکلاز و هورنبلند به صورت جانشین کننده پورفیروبلاست‌های فرومیزین پیشین و سیمپلکتیت دما پایین پلازیوکلاز و هورنبلند در اطراف پورفیروبلاست گارنت در سنگ‌های آمفیبولیت مورد بررسی شاخص رخداد فرایندهای دگرگونی پسروندۀ در شرایط کاهش فشار در سنگ‌های دگرگونی

بررسی نیمرخ ترکیبی اغلب کانی‌های گارنت تجزیه شده (جز کانی‌های گارنت حاصل از جوش خودگی) در سنگ‌های آمفیبولیت مورد بررسی روند تغییرات قابل مقایسه‌ای را نشان می‌دهند. برخی از این موارد عبارتند از:

(الف) تغییرات ترکیبی گارنت از هسته به سمت منطقه میانی با افزایش تشکیل دهنده پیروپ و کاهش مقادیر اسپسارتین و گروسولار مشخص می‌شود (شکل ۵ ب).

(ب) کاهش تشکیل دهنده آلماندین در منطقه میانی احتمالاً در ارتباط با شرایط کاهش فشار و ناپایداری واکنش‌های تشکیل آلماندین [۱۴] است.

(ج) نسبت $[\text{Mg}/(\text{Mg}+\text{Fe}^{2+})]$ در ترکیب منطقه میانی گارنت بیشتر از مقدار آن در ترکیب حاشیه است.

(د) با وجود اینکه در کل، مقادیر اسپسارتین در ترکیب گارنت‌های تجزیه شده پائین است اما تغییرات ترکیبی جزئی به صورت منطقه‌بندی عادی از هسته ($X_{\text{Mn}}=1.58$ a.p.f.u.) به سمت منطقه میانی و منطقه‌بندی معکوس از منطقه میانی به سمت حاشیه ($X_{\text{Mn}}=0.1$ a.p.f.u.) در نیمرخ آنها قابل تشخیص است.

(ه) کاهش قابل ملاحظه درست بلافصله قبل از ترکیب حاشیه در نیمرخ گارنت در ارتباط با تبادلات کاتیونی و جانشینی زیرخطر انجام‌داد Mg و Fe بین گارنت و کانی‌های فرومیزین آمفیبول در برگوارگی است.

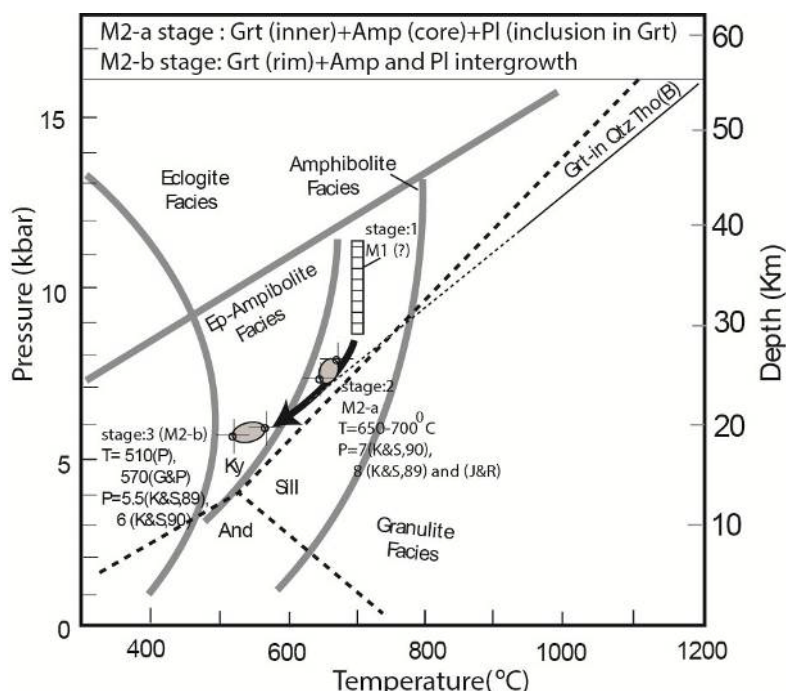
اپیدوت: فرمول اپیدوت بر اساس ۸ کاتیون و ۱۲/۵ اکسیژن محاسبه شده است. تمام آهن در ساختار کانی اپیدوت به صورت Fe^{3+} در نظر گرفته شده است. ترکیب اپیدوت‌های

Qtz کالیبره شده با داده‌های مراجع [۱۹، ۲۰] تعیین شد. فشار محاسبه شده در حدود $P=8\pm0.5$ kbar است. تعیین فشار با استفاده از مقدار Al در ترکیب هورنبلند [۲۱] با فشارهای محاسبه شده در مراجع [۱۹، ۲۰] همخوانی دارد ($P=8$ kbar).

دگرگونی پسرونده طی سرد شدگی در ارتباط با بالا آمدگی و فرسایش سنگ‌ها (exhumation) (M_{2-b}): این مرحله از دگرگونی پسرونده با افزایش مقادیر مودال هورنبلند در زمینه ریزدانه مشخص می‌شود. شرایط دما در مرحله سردشدن با استفاده از دماستنج گارنت-هورنبلند [۱۷] برابر با $T=570^{\circ}\text{C}$ تعیین شد. محاسبات با در نظر گرفتن ترکیب حاشیه گارنت و هورنبلند انجام شد. دمای برآورد شده با استفاده از دماستنج پلاژیوکلاز-هورنبلند [۲۲] برابر با $T=510^{\circ}\text{C}$ است. شرایط Grt- فشار دگرگونی مرحله (M_{2-b}) براساس زمین فشارستنج Hbl-Pl-Qtz، کالیبره شده با داده‌های مراجع [۱۹، ۲۰] در حدود $P=5.5-6.0$ kbar به دست آمد. جدول ۲ شرایط فشار و دمای محاسبه شده در سنگ‌های گارنت آمفیبولیت تخت سلیمان را نشان می‌دهد. مسیر ساعتگرد تحولات P-T آمفیبولیت‌های مورد بررسی در شکل ۶ نشان داده شده است.

متابازیک است [۱۵]. شرایط P-T اوج دگرگونی در گارنت آمفیبولیت‌های مورد بررسی به دلیل نبود کانی‌های دگرگونی اوج دگرگونی مشخص نیست. بر اساس تغییرات ترکیبی و منطقه‌بندی شیمی کانی‌های پورفیروبلاست گارنت، دگرگونی پسرونده سنگ‌های گارنت-آمفیبولیت تخت سلیمان در دو مرحله قابل بررسی است (شکل ۶).

دگرگونی پسرونده در شرایط کاهش فشار (M_{2-a}): افزایش جزئی Mg و کاهش مقادیر Fe و Ca, Mn در ترکیب منطقه میانی پورفیروبلاست‌های گارنت از شواهد این مرحله از دگرگونی پسرونده در سنگ‌های مورد بررسی است. شرایط فشار و دما در مرحله کاهش فشار پس از اوج دگرگونی پیشرونده (M_{2-a}) بر اساس ترکیب منطقه میانی پورفیروبلاست گارنت و ترکیب هسته کانی‌های پلاژیوکلاز و آمفیبول در زمینه ریزدانه تعیین شد. دماستنج گارنت-هورنبلند بر اساس کالیبراسیون‌های مراجع [۱۷، ۱۶] شرایط دما در دگرگونی M_{2-a} را به طور یکسان در حدود $T=650-700^{\circ}\text{C}$ و $P=7$ (K&S, 90), 8 (K&S, 89) and (J&R) استفاده از دماستنج پلاژیوکلاز-هورنبلند [۱۸] دماهای به نسبت پائین‌تر را به دست می‌دهد ($T=640^{\circ}\text{C}$). شرایط فشار Grt-Hbl-Pl- M_{2-a} با استفاده از زمین فشارستنج دگرگونی



شکل ۶ دماستنجی و مسیر ساعتگرد تحولات P-T دگرگونی در گارنت آمفیبولیت‌های تخت سلیمان.

جدول ۲ شرایط دما و فشار دگرگونی پسروندہ در گارنت آمفیبولیت‌های تخت سلیمان.

نوع سنگ	T (°C)	P (kbar)	Retrograde met.
گارنت-آمفیبولیت	640 (Pe), 690 (G&P), 700 (Ra,00)	8 (K&S,89), 7(K&S,90), 8 (J&R)	M _{2-a}
	510 (P), 570 (G&P)	5.5 (K&S,89), 6 (K&S,90)	M _{2-b}

Hbl-Grt [G&P: [۱۶]; Pe: [۲۳]; Ra,00: [۱۷]]; Hbl-Pl [P: [۱۸]; S[۲۲]].

Al in amphibole [H&Z: [۲۴]; J&R: [۲۱]]; Grt-Amp-Pl [K&S, 89: [۱۹]; K&S, 90: [۲۰]]; Grt-Hbl [M&P: [۲۵]]

مسیر از دگرگونی پسروندہ در نمودار شکل ۶ را می‌توان در ارتباط با بالا آمدگی سنگ‌ها به علت نازک‌شدنگی پوسته به دنبال فرایندهای ضخیم‌شدگی و فرسایش سنگ‌ها [۳۰] در نظر گرفت. مقادیر فشار و دمای محاسبه شده در گارنت آمفیبولیت‌ها در مرحله کاهش فشار (T = ۷۰۰ - ۶۵۰ °C) و (P = ۷ - ۸ kbar) منطبق بر محدوده پائین منحنی واکنشی (مشخص شده برای سنگ‌های متابازیک، [۳۲]) است که بر این اساس ناپایداری گارنت دگرگونی اوج در شرایط کاهش فشار [۳۱] تایید می‌شود (شکل ۶). مقادیر دما و فشار در مرحله پسروندہ در مرحله M_{2-b} (T = ۵۱۰ - ۵۷۰ °C) و (P = ۵/۵ - ۶ bar) کاهش یافته است. مقادیر کاهش دما و فشار در انتقال از مرحله پسروندہ (M_{2-a}) به (M_{2-b}) به ترتیب در حدود ۱۹۰ - ۱۴۰ °C و ۲/۵ - ۱/۵ kbar تعیین شده است. براساس تغییرات فشار محاسبه شده در طی مرحله پسروندہ (M_{2-a}) (به آمدگی سنگ‌ها همراه با ارتباط با فرایندهای کوه‌زایی در منطقه‌های برخورد قاره‌ای نسبت داده شده است که بر این اساس تشکیل گارنت آمفیبولیت‌های مورد بررسی در ارتباط با فرایندهای کوه‌زایی برخورد قاره‌ای بسیار محتمل به نظر می‌رسد و مدل‌های زمین‌ساختی مرتبط با کافتیش شامل کشش ایجاد شده از پلومهای گوشته‌ای [۳۵] و نفوذ ماقما با منشاء گوشته‌ای در مناطق قوسی [۳۶، ۳۵] به دلیل شرایط فشار بالای گارنت آمفیبولیت‌های مورد بررسی به سادگی رد می‌شود.

الگوی پیشنهادی دگرگونی زمین‌ساختی

زمان رخداد دگرگونی های اوج در گارنت آمفیبولیت‌های مورد بررسی به طور دقیق مشخص نیست. سن‌سنگی U-Pb زیرکن

بررسی تحولات P-T دگرگونی بر اساس شواهد بافتی و کانی‌شناسی در گارنت آمفیبولیت‌های مورد بررسی، تحولات P-T دگرگونی سنگ‌ها در سه مرحله شامل (۱) اوج دگرگونی، (۲) دگرگونی پسروندہ در شرایط کاهش فشار و (۳) دگرگونی پسروندہ در شرایط سردشدنگی بررسی شد. شرایط P-T اوج دگرگونی در گارنت آمفیبولیت‌های مورد بررسی به دلیل نبود کانی‌های دگرگونی اوج دگرگونی و شیمی کانی مربوط به این مرحله در کانی‌های پورفیروبلاست گارنت و آمفیبول مشخص نیست. شواهد بافتی سیمپلکتیت دمای پایین هورنبلنده-پلازیوکلاز اطراف پورفیروبلاست گارنت از شواهد بافتی نشان دهنده رخداد دگرگونی پسروندہ در سنگ‌های مورد بررسی هستند. سیمپلکتیت هورنبلنده-پلازیوکلاز در اطراف پورفیروبلاست گارنت در فرایندهای نشان دهنده شکست گارنت در شرایط کاهش فشار است [۲۶، ۱۵]. نخستین قسمت مسیر P-T با شیب تند dP/dT در شکل ۶ نشان دهنده بالا آمدگی سنگ‌ها همراه با کاهش فشار است که این مرحله احتمالاً در ارتباط با عملکرد گسل‌های تراستی طی ضخیم‌شدنگی پوسته‌ای [۳۰-۲۶] در منطقه روی داده است. در این مرحله بالا آمدگی سنگ‌های دگرگونی تدفین شده در اعماق پوسته زیرین تا عمق حدود ۲۳ km با تغییرات دمایی کم همراه بوده است (شکل ۶). اندازه به نسبت درشت کانی‌ها در بافت سیمپلکتیت احتمالاً در ارتباط با نرخ نسبتاً پائین سردشدنگی طی بالا آمدگی سنگ‌های پوسته‌ای در منطقه است. در قسمت دوم مسیر P-T شرایط دما از ۶۵۰ - ۷۰۰ °C تا ۵۷۰ - ۵۱۰ °C و فشار از ۷-۸ kbar تا ۵/۵-۶ kbar یافته است (شکل ۶). کاهش فشار، سردشدنگی و شیب dP/dT در قسمت دوم مسیر P-T در حد متوسط است. در نتیجه این

مرحله (M_{2-a}) در حدود $650-700^{\circ}\text{C}$ و $7-8\text{ kbar}$ در مرحله (M_{2-b}) در حدود $570-510^{\circ}\text{C}$ و $5.5-6\text{ kbar}$ است. بر اساس شواهد بافتی، کانی شناسی و محاسبات P-T، مسیر ساعتگرد تحولات P-T دگرگونی در آمفیبولیت‌های مورد بررسی به صورت زیر تفسیر می‌شود: نخستین قسمت مسیر P-T پسروندۀ در آمفیبولیت‌ها با شبیه بسیار تند dP/dT کاهش فشار را نشان می‌دهد که احتمالاً طی بالا آمدگی زمین‌ساختی سنگ‌ها در ارتباط با عملکرد گسل‌های تراستی در طی ضخیم‌شدنگی پوسته‌ای و برخورد قاره‌ای ثبت شده است. در این مرحله بالا آمدگی سنگ‌های تدفین شده در اعماق ۳ پوسته زیرین تا اعماق بالاتر 23 km با تغییرات دمائی کم همراه بوده است. در قسمت دوم مسیر P-T دگرگونی پسروندۀ شرایط دما از $650-700^{\circ}\text{C}$ تا $570-510^{\circ}\text{C}$ و فشار از $7-8\text{ kbar}$ تا $6-5.5\text{ kbar}$ کاهش یافته است. این قسمت سرد شونده Mسیر P-T در ارتباط با سردشدنگی سنگ‌ها طی بالا آمدگی آنها به علت نازکشدنگی و فرسایش پوسته‌ای بوده است. به نظر می‌رسد که بالا آمدگی سنگ‌های گارنت آمفیبولیتی مورد بررسی در مجموعه دگرگونی تخت‌سلیمان با مدل ضخیم‌شدنگی پوسته‌ای و نازکشدنگی در پی آن طی فازهای کشش بعد از فشارش مربوط با بسته‌شدن نئوتیس در طی فاز لارامید هم‌خوانی دارد.

قدرتانی

مولف از آقایان دکتر محسن مؤذن و دکتر احمد جهانگیری به جهت راهنمایی‌های علمی ارزشمندشان تشکر و قدردانی می‌نماید. همچنین از داوران محترم مجله به جهت ارائه نقطه نظرات سازنده سپاسگزاری می‌شود.

مراجع

- [1] Berberian M., King G.C.P., "Towards a paleogeography and tectonic evolution of Iran", Canadian Journal of Earth Sciences 18 (1981) 210–265.
- [2] Alavi M., "Tectonics of the Zagros orogenic belt of Iran: New data and interpretations", Tectonophysics 229 (1994) 211–238.
- [3] Stocklin J., "Structural history and tectonics of Iran: a review: American Association of Petroleum", Geologists Bulletin 52 (1968) 1229–1258.

در لوکوسوم میگماتیت‌ها زمان دگرگونی اوج و ذوب‌شدنگی آمفیبولیت‌ها در مجموعه دگرگونی تخت سلیمان را الیگوسن-میوسن (۲۶ میلیون سال قبل، [۶]) تعیین کرده است. سن U-Pb زیرکن به ارث رسیده داخل ملانوسوم که باقی مانده از ذوب آمفیبولیت‌ها به جای مانده $2961 \pm 72\text{ Ma}$ به دست آمده است که بر این اساس پیشنهاد می‌شود که پروتولیت آمفیبولیت مجموعه دگرگونی تخت سلیمان سن قدیمی مربوط به پروتروزوئیک را داشته که طی برخورد قاره عربستان با خردۀ قاره ایران مرکزی در طی فاز کوه‌زایی لارامید دگرگونی شرایط اوج در رخساره آمفیبولیت و رخساره گرانولیت (ذوب‌بخشی گارنت آمفیبولیت‌ها) را نیز تجربه کرده است.

با فرض بسته‌شدن و برخورد نئوتیس در الیگوسن [۳۷] احتمالاً بتوان رخداد دگرگونی‌های پسروندۀ و بالا آمدگی سنگ‌های دگرگونی [۳۹، ۳۸] را مرتبط با عملکرد فازهای کششی به دلیل نازکشدنگی بعد از برخورد قاره‌ای نئوتیس در نظر گرفت. فعالیت‌های ماگمایی و آتش‌فشانی وسیع نئوژن در منطقه تخت سلیمان [۳۸] از دیگر شواهد عملکرد فازهای کششی بعد از برخورد در منطقه مورد بررسی هستند. با این حال برای ارائه مدل زمین‌دینامیکی دقیق‌تر نیاز به بررسی‌های زمین‌ساختی، زمین‌شیمیایی و ایزوتوبی بیشتر است.

برداشت

سنگ‌های آمفیبولیت از نظر ساختاری، بافتی و مجموعه کانی‌های دگرگونی دارای تنوع بسیار زیادی دارند. میگماتیت‌های مافیک نتیجه ذوب‌بخشی آمفیبولیت‌ها در درجه دگرگونی‌های بالا هستند.

شرایط P-T دگرگونی اوج در سنگ‌های گارنت آمفیبولیت به دلیل نبود کانی‌های دگرگونی اوج و ترکیب شیمی کانی‌های پورفیروبلاست مشخص نیست. کانی‌های دگرگونی اوج در گارنت آمفیبولیت‌ها به طور کامل توسط سیمپلکتیت دما فشار متوسط پلازیوکلаз-هورنبلند جایگزین شده است. شرایط دما و فشار دگرگونی پسروندۀ (M_2) در گارنت-آمفیبولیت بر اساس مجموعه کانی‌های دگرگونی و ترکیب شیمی کانی‌های در حال تعادل در دو مرحله تعیین شد: (a) دگرگونی پسروندۀ در شرایط کاهش فشار (M_{2-a}) و (b) مرحله سردشدنگی طی بالا آمدگی و فرسایش سنگ‌ها (M_{2-b}). شرایط دما و فشار تبلور در

- margins reply*", Tectonophysics 312 (1999) 363-366.
- [16] Graham C.M., Powell R., "A garnet-hornblende geothermometer: calibration, testing, and application to the Pelona Schist, Southern California", Journal of Metamorphic Geology 2 (1984) 13-31.
- [17] Ravna E.K., "Distribution of Fe^{2+} and Mg between coexisting garnet and hornblende in synthetic and natural systems: an empirical calibration of the garnet-hornblende Fe-Mg geothermometer", Lithos 53 (2000) 265-277.
- [18] Plyusnina L.P., "Geothermometry and Geobarometry of Plagioclase-Hornblende Bearing Assemblages", Contributions to Mineralogy and Petrology 80 (1982) 140-146.
- [19] Kohn, M.J. and Spear, F.S., 1989. Empirical calibration of geobarometers for the assemblage garnet + hornblende + plagioclase + quartz. American Mineralogist, 74: 77-84.
- [20] Kohn M.J., Spear F.S., "Two new geobarometers for garnet amphibolites, with applications to southeast Vermont", American Mineralogist 75 (1990) 89-96.
- [21] Johnson M.C., Rutherford M.J., "Experimental calibration of the aluminum-in hornblende geobarometer with application to Long Valley caldera (California) volcanic rocks" Geology 17 (1989) 837-841.
- [22] Spear F.S., "The gedrite-anthophyllite solvus and the composition limits of orthoamphibole from the Post Pond Volcanics, Vermont", American Mineralogist 65 (1980) 1103-1118.
- [23] Perchuk L.L., Aranovich L.Y., Podlesskiy K.K., Lavrant I.V., Gerasimov V.Y., Kitsul V.L., Karsakov L.P., Perdnikov N.V., "Precambrian granulites of the Aldon Shield, Eastern Siberia", Journal of Metamorphic Geology 3 (1985) 263-310.
- [24] Hammarstrom J.M., Zen E.A., "Aluminium in hornblende: an empirical igneous Geobarometer", American Mineralogist 71 (1986) 1297-1313.
- [25] McCarthy T. C., Patiño Douce A. E., "Empirical calibration of the silica-Catschermak's anorthite (SCAn) geobarometer", Journal of Metamorphic Geology 16 (1998) 675-686.
- [26] Guo J.H., O'Brien P.J., Zhai M.G., "High pressure granulites in the Sanggan area, North [4] Alavi M., Hajian J., Amidi M., Bolourchi H., "Geology of Takab-Shahin-Dez Quadrangle", The Ministry of Mines and Metals of Iran, Tehran (1982) 100 p.
- [5] بابا خانی ع، قلمقاش ج، "نقشه زمین شناسی ۱/۱۰۰۰۰ تخت سلیمان"، سازمان زمین شناسی ایران (۱۳۷۱).
- [6] Moazzen M., Hajialoghli R., Möller A., Droop G.T.R., Oberhänsli R., Altenberger U., Jahangiri A., "Oligocene partial melting in the Takab metamorphic complex, NW Iran: Evidence from in situ U-Pb geochronology", Journal of Sciences, Islamic Republic of Iran 24 (2013) 217-228.
- [7] Kretz R., "Symbols for rock-forming minerals", American Mineralogist 68 (1983) 277-279.
- [8] Droop G.T.R., "A general equation for estimating Fe^{3+} concentrations in ferromagnesian silicates and oxides from microprobe analyses using stoichiometric criteria", Mineralogical Magazine 51 (1987) 431-435.
- [9] Abdel Naby H., Frisch W., Hegner E., "Evolution of Pan-African Wadi Haimur metamorphic sole, Eastern Desert, Egypt", Journal of Metamorphic Petrology 18 (2000) 639-651.
- [10] Leake B.E., Woolley A.R., Birch W.D., Burke E.A.J., Ferraris G., Grice J.D., Hawthorne F.C., Kisich H.J., Krivovichev V.G., Schumacher J.C., Stephenson N.C.N., Whittaker E.J.W., "Nomenclature of amphiboles: additions and revisions to the International Mineralogical Association's amphibole nomenclature", Canadian Mineralogist 41 (2004) 1355-1370.
- [11] Raase P., "Al and Ti Contents of Hornblende. Indicators of Pressure and Temperature of Regional Metamorphism", Contributions to Mineralogy and Petrology 45 (1974) 231-236.
- [12] Hynes A., "A comparison of amphiboles from medium- and low-pressure metabasites", Contributions to Mineralogy and Petrology 8 (1982) 119-125.
- [13] Woodsworth G.J., "Homogenization of zoned garnets from politic schists", Canadian Mineralogist 15 (1977) 230-242.
- [14] Thiéblemont D., Pascual E., Stein G., "Magmatism in the Iberian Pyrite Belt: petrological constraints on a metallogenic model", Mineralium Deposita 33 (1998) 98-110.
- [15] Zhang K.J., "North and South China collision along the eastern and southern north China

- [34] Münttener O., Hermann J., Trommsdorff V., "Cooling History and exhumation of lower-crustal granulite and upper mantle (Malenco, Eastern Central Alps)" *Journal of Petrology* 41 (2000) 175-200.
- [35] Bohlen S.R., "Pressure-temperature-time paths and a tectonic model for the evolution of granulite", *Journal of Geology* 95 (1987) 617-632.
- [36] Wells P.R.A., "Thermal models for the magmatic accretion and subsequent metamorphism of continental crust" *Earth and Planetary Science Letters* 46 (1980) 253-265.
- [37] Agard P., Omrani J., Jolivet L., Moutherneau F., "Convergence history across Zagros (Iran): Constraints from collisional and earlier deformation" *International Journal of Earth Sciences* 94 (2005) 401-419.
- [38] Stockli D.F., Hassanzadeh J., Stockli L.D., Axen G., Walker J.D., Dewane T.J., "Structural and geochronological evidence for Oligo-Miocene intra-arc low-angle detachment faulting in the Takab-Zanjan area, NW Iran" Abstract, Programs Geological Society of America 36 (2004) 319.
- [39] Gilg H.A., Boni M., Balassone G., Allen C.R., Banks D., Moore F., "Marble-hosted sulfide ores in the Angouran Zn-(Pb-Ag) deposit, NW Iran: interaction of sedimentary brines with a metamorphic core complex" *Mineralium Deposita* 41 (2006) 1-16.
- China craton: metamorphic evolution, P-T paths and geotectonic significance", Jurnal of Metamorphic Geology* 20 (2002) 741-756.
- [27] Bohlen S.R., "On the formation of granulites", *Journal of Metamorphic Geology* 9 (1991) 223-229.
- [28] Brown M., "P-T-t evolution of orogenic belts and the causes of regional metamorphism", *Journal of the Geological Society of London* 150 (1993) 227-241.
- [29] Carswell D.A., O'Brien P.J., "Thermobarometry and geotectonic significance of High Pressure granulites: examples from the Moldanubian Zone of the Bohemian Massif in Lower Austria", *Journal of Petrology* 34 (1993) 427-459.
- [30] Ellis D.J., "Origin and evolution of granulites in normal and thickened crusts", *Geology* 15 (1987) 167-170.
- [31] Harley S.L., "The origin of granulites: a metamorphic perspective", *Geological Magazine* 12 (1989) 215-247.
- [32] Green D.H., Ringwood A.E., "An experimental investigation of the gabbro to eclogite transformation and its petrological applications", *Geochimica et Cosmochimica Acta* 31 (1967) 767-833.
- [33] Tenthorey E.A., Ryan J.C., Snow E.A., "Petrogenesis of sapphirine-bearing metatiroctolites from the Buck Creek ultramafic body, southern Appalachian", *Journal of Metamorphic Geology* 14 (1996) 103-114.